

مجله علمی پژوهشی مخاطرات محیط طبیعی، دوره دهم، شماره بیست و هفتم، بهار ۱۴۰۰

تاریخ دریافت مقاله: ۱۳۹۸/۱۲/۱۲

تاریخ بازنگری نهایی مقاله: ۱۳۹۹/۰۵/۱۰

تاریخ پذیرش مقاله: ۱۳۹۹/۰۵/۲۶

صفحات: ۱۵۹ - ۱۷۶

مقاله (علمی پژوهشی)

## فراوانی ورود چرخندهای مدیترانه‌ای به ایران و اثر آن‌ها بر بارش‌های فراغیر

حسین عساکره<sup>۱\*</sup>، آتوسا خجسته<sup>۲</sup>

۱. استاد دانشگاه زنجان

۲. کارشناس ارشد آب و هواشناسی سینوپتیک، دانشگاه زنجان

### چکیده

نوسان بارش در سطح کشور بحران‌های زیست- محیطی زیادی را در سال‌های اخیر ایجاد نموده است. در این پژوهش به‌منظور بررسی روزهای تؤام با بارش فراغیر در ایران، دو گروه پایگاه داده شامل داده‌های جو بالا و داده‌های سطح زمین مورد واکاوی قرار گرفت. داده‌های جو بالا شامل: ارتفاع ژئوپتانسیل (متر)، فشار سطح دریا (هکتوپاسکال) که برای دوره‌ی آماری ۱۳۶۳ تا ۱۳۹۲ (۲۰۱۳ تا ۱۹۸۶) در ابعاد مکانی، ۱۰ تا ۶۰ درجه عرض شمالی و ۴۰- تا ۸۰ درجه طول شرقی از مرکز ملی پیش‌بینی محیطی آمریکا و پژوهش‌های جوی (NCEP|NCAR) اخذ گردید. این ابعاد به‌منظور شناسایی سیر چرخندهایی که از دریای مدیترانه به ایران انتقال یافته انتخاب شد. داده‌های سطح زمین، از داده‌های میان‌یابی شده بارش روزانه‌ی ۱۹۳۹- ۱۹۷۴ ایستگاه و ۱۹۷۴- ۱۹۸۶ روز بر روی یاخته‌هایی به ابعاد  $14 \times 14$  کیلومتر به روش کریجینگ در طی دوره‌ی آماری به دست آمد. به‌منظور تحلیل بارش‌های فراغیر منطقه، نمایه پایه‌ی صدک ۲۵ ام برای بررسی انتخاب شد. بر اساس این صدک هرگاه ۵ درصد از ایران دارای بارش باشد به عنوان روز بارش فراغیر برگزیده خواهد شد. نتایج این پژوهش حاکی از آن است که بر اساس مسیر چرخندهای انتقال یافته به ایران هرگاه این مسیرها با دریای سرخ و سیاه ادغام گردد بر تأثیر آن‌ها بر رخداد بارش و فراوانی آن‌ها افزوده می‌شود. در زمان رخداد بارش در نواحی غرب و شمال غرب ایران بارش‌های یکنواختی تجربه شد، در حالی که نواحی شرق و شمال شرق ایران تحت تأثیر سیکلون‌های کم‌توان قرار گرفت و درنتیجه رخداد بارش در این نواحی بطور چشم‌گیری سیر نزولی پیدا کرد.

وازگان کلیدی: چرخند، روزهای بارشی، کم‌فشار مدیترانه، ایران.

## مقدمه

اقلیم دستگاه بسیار بزرگی است که خود از اندرکنش میان چندین دستگاه دیگر (هوا سپهر، آب سپهر، بخش سپهر، سنگ سپهر و زیست سپهر) پدید می‌آید. اگر دریکی از این دستگاه‌ها تغییری پدید آید دیگر دستگاه‌ها به سرعت یا به‌آرامی خود را با آن هماهنگ می‌سازند. بارش یکی از متغیرترین عناصر اقلیمی است که همواره از این دستگاه تأثیر پذیرفته است، و برآن نیز تأثیر می‌گذارد و مقدار آن در زمان و مکان پیوسته تغییر می‌کند. یکی از شرایط جوی که اقلیم را شکل می‌دهد و خود نیز تحت تأثیر اقلیم است، عنصر "بارش" می‌باشد (عساکره و رزمی، ۱۳۹۰). شناخت پراکنش زمانی و مکانی بارش، ابرازی سودمند برای درک چگونگی پراکنش غیریکنواخت منابع آب و پوشش گیاهی در هر منطقه است (حجازی زاده و صداقت، ۱۳۸۸). با ارائه نظریه‌ی جبهه‌ی قطبی در سال ۱۹۲۰ که تا دهه ۱۹۵۰، الگوی غالب برای تبیین چرخدنده‌ای برون حاره بوده است، شناخت پدیده‌ی چرخدنزاری را به افق جدیدی وارد کرده است (جهانبخش و همکاران، ۱۳۹۷). چرخدنها جزو عوامل بیرونی کنترل‌کننده آب و هوای هستند و ورود این سامانه‌ها تابع عوامل آورنده‌ی آن‌هاست (علیجانی، ۱۳۸۵). چرخدنها مهم‌ترین عامل اختشاش در منطقه برون حاره‌اند که عمدتاً با موج کوتاه در سطوح بالا، هسته رودباد و وجود هوای گرم و مرطوب در یک طرف جبهه توأم هستند (کاویانی و علیجانی، ۱۳۹۱). در هرجایی از سطح زمین که شرایط چرخدنزاری به صورت جمعی یا فردی یافت شوند، احتمال تشکیل چرخدن وجود دارد و بنابراین تمام چرخدنها در منطقه قلمرو بادهای غربی، به‌ویژه در فصل زمستان تشکیل می‌شود (کاویانی، علیجانی، ۱۳۹۱).

هدف از پژوهش فوق شناسایی نحوه‌ی جریان یافتن چرخدنده‌ای مدیترانه‌ای به ایران و تأثیرگذاری این چرخدنها بر بارش ایران است. سبب انتخاب این موضوع و نوآوری آن در این است که، پژوهش‌های بسیار زیادی در زمینه‌ی چرخدنها، روند تغییرات و تأثیر آن‌ها در خارج از ایران صورت گرفته، ولی تعداد مطالعات بسیار ناچیزی در ایران صورت گرفته است، در حالی که بخشی از بارش‌های زمستانه ایران تحت تأثیر چرخدنده‌ای مدیترانه‌ای به وقوع می‌پیوندد. در سال ۱۳۶۶ دکتر علیجانی جزو اولین اشخاصی بود که در ارتباط با چرخدنده‌ای خاورمیانه و نحوه‌ی جریان یافتن آن‌ها مطالعه‌ای را انجام داد. در طی این سال‌ها تا به امروز در ایران تنها ایران نژاد و همکاران و همچنین علیزاده و همکاران مطالعه‌ای در زمینه‌ی چرخدنده‌ای مدیترانه‌ای انجام داده‌اند. پژوهش حاضر نسبت به دو پژوهش مطرح شده دارای تفاوت‌هایی است که عبارت‌اند از؛ ۱- علیزاده و همکاران به بررسی تغییرات زمانی و مکانی چرخدنها پرداخته‌اند؛ در اینجا تأکید بر تغییرات فراوانی چرخدنها و تأثیرات آن بر رخداد بارش‌های ایران بوده است. ۲- در پژوهش حاضر تلاش شده است تا طول دوره‌ی آماری به‌گونه‌ای انتخاب شود که نسبت به پژوهش ایران نژاد و همکاران که دوره‌ای ۴۲ ساله (۱۳۳۸ تا ۱۳۸۰) را مورد مطالعه قرار داده‌اند به زمان حاضر و به واقعیت نزدیک‌تر باشد. لشکری (۱۳۸۱) در مسیریابی کم‌فشار سودانی ورودی به ایران به این نتیجه دست یافت که سامانه‌ها پس از فعال شدن به سمت شمال حرکت کرده و بعد از ورود به شرق مدیترانه با سامانه‌هایی که در قبرس(یا عراق) ایجاد شده است، ادغام می‌گردند. ایران نژاد و همکاران (۱۳۸۸) در پژوهش خود به بررسی فراوانی سالانه مراکز چرخدنی بر بارش سالانه‌ی ایران در دوره‌ی آماری ۱۹۶۰ تا ۲۰۰۲ پرداخته‌اند. نتایج حاصل از تحقیق نشان داد که به‌جز مناطق جنوب شرقی، شرق و قسمتی از مرکز ایران، بقیه‌ی کشور تحت تأثیر معنی‌دار فراوانی چرخدنده‌ای(شرق مدیترانه و شمال دریای سرخ) قرار گرفته و بارش سالانه تغییر می‌نماید. علیزاده و همکاران (۱۳۹۴) در پژوهشی تغییرات زمانی

و مکانی چرخندهای قوی مدیترانه را برای دوره‌ی آماری ۱۹۸۰ تا ۲۰۱۳ با بهره‌گیری از الگوریتم عددی موردو-اکاوری قرار دادند. نتایج تحقیق بیانگر آن است که با حرکت چرخندهای قوی به سمت شرق از شدت تاوایی آن‌ها کاسته می‌شود و تا مرز ایران از بین می‌روند. بررسی روند سالانه چرخند بیانگر این مسئله بوده است که فراوانی چرخندهادر غرب مدیترانه نسبت به شرق آن در حال افزایش است. حیدری و خوش اخلاق (۱۳۹۴) به بررسی اثر گرمایش جهانی بر چرخندهای مدیترانه برای ۱۹۶۰ تا ۲۰۵۰ بصورت ماهانه با استفاده از مدل‌های GCM و RCM پرداخته‌اند. در مجموع نتایج پژوهش بدین شرح است: افزایش دما و فشار جو در منطقه‌ی شرق دریا در دوره‌ی ۶۵ ساله‌ی اخیر که براساس مدل‌سازی‌ها تا سال ۲۰۵۰ افزایش خواهد یافت. در ایران پژوهش‌های بسیار زیادی در ارتباط با بارش فراگیر بدون تأکید بر چرخندها صورت گرفته است در این بخش از تحقیق تنها به تعدادی از این پژوهش‌ها اشاره خواهد شد: (الف) بررسی و تحلیل الگوی فراورفت رطوبتی بارش‌های فراگیر ایران که توسط خسروی و همکاران در سال ۱۳۹۶ انجام شده است. (ب) تحلیل سینوپتیکی بارش‌های شدید و فراگیر ایران در سال ۱۳۹۴ به نویسنده‌گی مصطفائی و همکاران که در نشریه‌ی تحلیل فضایی مخاطرات محیطی به چاپ رسیده است. (پ) علیزاده و همکاران در سال ۱۳۹۱ پژوهشی را با موضوع واکاوی الگوهای گردشی تراز ۵۰۰ هکتارپاکال جو هنگام رخداد بارش‌های فراگیر و غیر فراگیر در ایران به چاپ رسانده‌اند. (ت) تحلیل فراوانی رودبادهای مرتبه با بارش‌های حدی و فراگیر در کرانه‌های غربی خزر که توسط حلبیان و همکاران بررسی شده است. (ث) سلیقه و همکاران در پژوهشی با بهره‌گیری از ساخته‌های CACO و NCPI به بررسی بارش‌های فراگیر پاییزه پرداخته‌اند.

تریگو و همکاران<sup>۱</sup> (۱۹۹۸) در پژوهش خود دریافتند مناطقی که چرخندزایی‌های آن‌ها حاصل از ناهمواری‌هاست از جمله خلیج جنو، جنوب کوه‌های اطلس مهم‌ترین مکان‌ها برای رخداد رویدادهای فرین حاصل از چرخندزایی‌ها هستند. رامیس و همکاران<sup>۲</sup> (۱۹۹۸) به بررسی بارش‌های سنگین و سیلابی در روزهای ۹ و ۱۰ اکتبر ۱۹۹۴ در ایالت کاتولونیای اسپانیا پرداختند. ایشان مطرح نموده‌اند که غرب مدیترانه را با استفاده از میانگین فشار منجر به رخداد بارش سیلابی در جنوب کاتولونیا شده است. اشل و همکاران<sup>۳</sup> (۲۰۰۰) با استفاده از میانگین فشار سطح دریا در نقاطی از اقیانوس اطلس شمالی، خشک‌سالی در شرق مدیترانه را با استفاده از روش‌های آماری، از ۷/۵ تا ۱۳ ماه قبل از رخداد آن پیش‌بینی کرده‌اند. لیونل و همکاران<sup>۴</sup> (۲۰۰۲) به بررسی چرخندهای مدیترانه و تأثیر آن برافزایش CO<sub>2</sub> با بهره‌گیری از داده‌های ERA-15 CPR برای دوره‌ی آماری ۳۰ ساله پرداختند. این پژوهش با استفاده از دو سناریو؛ سناریوی اول: انتشار CO<sub>2</sub> و سناریوی دوم: CPR به واکاوی تأثیر چرخندهای مدیترانه‌ای بر افزایش CO<sub>2</sub> را انجام داده‌اند. آن‌ها در مطالعه‌ی خود به این نتیجه دست پیدا کردند که هنگامی که چرخندها قوی‌تر در نظر گرفته می‌شوند، تعداد آن‌ها در داده‌های ERA-15 به سناریوی CO<sub>2</sub> نسبت به سناریوی CPR نزدیک‌تر است. همچنین شدت چرخندها در سناریوی CO<sub>2</sub> بسیار بالاتر از CPR است. در این پژوهش هیچ نشانه‌ای از تغییر آب‌وهوا در شبیه‌سازی‌ها به چشم نمی‌خورد. زنگویل و زنگویلان<sup>۵</sup> (۲۰۰۳) مطالعه‌ی خود را با استفاده از داده‌های NCEP/NCAR انجام

<sup>1</sup> - Trigo.etc<sup>2</sup> - Ramis.etc<sup>3</sup> - Eshel.etc<sup>4</sup> - Lionello.etc<sup>5</sup> - Zangvil.etc

داده‌اند. نتایج پژوهش آن‌ها حاکی از آن است که؛ عامل جو (اتمسفر) بطور مستقیم مسئول این تغییرات در توزیع بارندگی است. واکاوی صورت گرفته در این پژوهش نشان می‌دهد که سامانه‌های جوی با یکپارچگی فاز مثبت از نوسانات اقیانوس اطلس شمالی (NAO) از یک طرف، با آخرین پیش‌بینی‌های IPCC از الگوهای بارش در حوزه‌ی دریای مدیترانه شرقی از طرف دیگر سازگار است. بنگتسون و همکاران<sup>۱</sup> (۲۰۰۶) در پژوهش خود با استفاده از مدل ECHAM5 و داده‌های ERA-40 به بررسی چرخندها پرداختند. براساس خروجی مدل، کانون‌های چرخندزایی را غرب مدیترانه، شرق مدیترانه و روسیه‌ی مرکزی دانسته‌اند. کمپینزو و همکاران<sup>۲</sup> (۲۰۰۶) با استفاده از داده‌های HIRLAM-INM-0/5 در بخش دوم مطالعه‌ی خود در رابطه با بررسی تغییرات اقلیمی در شرق مدیترانه به تأکید بر عناصر آب‌وهوا بر پرداختند. نتایج نشان داد که دماهای منفی است که در گردش چرخندها مؤثر است. بدین صورت که در فصل سرد سال با تهاجم توده‌های هوای مرطوب به مدیترانه شرقی موجب افزایش دمای سطح زمین می‌گردد، در مقابل، در فصل گرم سال از مقادیر دما کاسته می‌شود. نیسن و همکاران<sup>۳</sup> (۲۰۱۰)، تأثیر چرخندها بر شکل‌گیری بادهای قوی در منطقه‌ی مدیترانه و ارتباط آن با پیوند از دور را برای دوره‌ی آماری ۱۹۵۷-۲۰۰۲ (فصل زمستان) با استفاده از داده‌های ERA-40 مورد تجزیه و تحلیل قراردادند. نتیجه‌ی این پژوهش بیان می‌دارد هیچ ارتباط خطی بین قدرت چرخند از لحاظ لایاسین فشار و تأثیر آن در منطقه مدیترانه وجود ندارد. نتایج حاصل از بررسی‌های نوسانات اطلس شمالی نیز نشان داد که در طی فاز مثبت این نوسان تعداد بادهای شدید در سراسر حوضه دریایی مدیترانه به‌طور قابل توجهی افزایش می‌یابد، در حالی که در طی فاز منفی، تعداد آهنگ‌های باد شدید در سراسر حوضه دریایی مدیترانه به شکل محسوسی کاهش یافته است. در پژوهش‌های خارج از ایران تحقیقاتی در زمینه مسیر حرکت چرخندها انجام شده است، که در ادامه از تعدادی از آن‌ها نام برده می‌شود: (الف) بلندر و شوبرت<sup>۴</sup> به بررسی سیر چرخندها با رزولوشن فضایی و زمانی مختلف با بهره‌گیری از داده‌های ECHAM4 پرداخته‌اند. (ب) هوسکینگ و هودگس<sup>۵</sup> طوفان‌های نیم‌کره‌ی شمالی را بررسی کردند. (ت) تریگو و همکاران<sup>۶</sup> بررسی سیر چرخندها در جزیره‌ی کرت (مدیترانه‌ی شرقی) را انجام دادند. لیونلو و همکاران<sup>۷</sup> با بهره‌گیری از داده‌های ERA-Interim برسی مسیر طوفان‌های مدیترانه‌ی را مورد واکاوی قرار داده‌اند. پژوهشگرانی همچون الپرت و همکاران<sup>۸</sup> (۱۹۹۰)، کمپینز و همکاران<sup>۹</sup> (۲۰۰۰)، فلوکاس و همکاران<sup>۱۰</sup> (۲۰۱۰)، تریگو و همکاران<sup>۱۱</sup> (۲۰۰۶)، پیکورنلو همکاران<sup>۱۲</sup> (۲۰۰۱) به تحقیقاتی در زمینه‌ی توزیع ماهانه‌ی چرخندهای مدیترانه به همراه تعداد آن‌ها و مراکز چرخندزایی در شرق و غرب مدیترانه پرداخته‌اند.

## داده‌ها و روش‌ها

<sup>۱</sup> - Bengtsson.etc

<sup>۲</sup> - Campins.etc

<sup>۳</sup> - Kostopoulou.etc

<sup>۴</sup> - Nissen.etc

<sup>۵</sup> - Blender.etc

<sup>۶</sup> - Hoskins.etc

<sup>۷</sup> - Trigo.etc

<sup>۸</sup> - Lionell

<sup>۹</sup> - Alpert.etc

<sup>۱۰</sup> - Campins

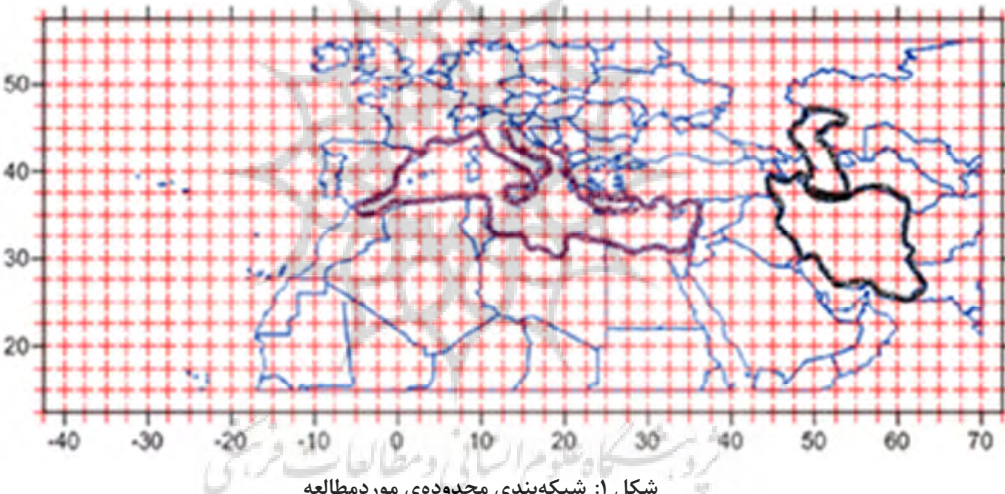
<sup>۱۱</sup> - Flocas.etc

<sup>۱۲</sup> - Picornell.etc

در پژوهش حاضر به منظور دست‌یابی به نتیجه‌ی مطلوب از دو پایگاه داده بهره برده شده است که عبارتند از داده‌های جو بالا و داده‌های سطح زمین. در ذیل به بیان هریک می‌پردازیم:

**الف - داده‌های جو بالا:**

برای این بخش از ارتفاع ژئوپتانسیل (متر) و فشار سطح دریا (هکتوپاسکال) متعلق به مرکز ملی پیش‌بینی محیطی آمریکا و مرکز ملی پژوهش‌های جوی NCEP/NCAR در تراز ۱۰۰۰ و ۵۰۰ هکتوپاسکال با تفکیک مکانی  $\frac{2}{5} \times \frac{2}{5}$  درجه قوسی و تفکیک زمانی شش ساعته برای دوره‌ی آماری ۱۳۶۳ تا ۱۹۸۶ (۲۰۱۳ تا ۱۳۹۲) بهره گرفته شده است. در هر روز داده‌های چهار دیده‌بانی در ساعت‌های ۰۰، ۰۶، ۱۲ و ۱۸ زولو که برابر  $\frac{3}{5}$ ،  $\frac{9}{5}$ ،  $\frac{15}{5}$  و  $\frac{22}{5}$  به وقت ایران است بررسی شده‌اند. به سبب آنکه هدف، شناسایی چرخندهایی که از جانب دریای مدیترانه به ایران حرکت کرده و مسبب رخداد بارش گشته‌اند می‌باشد، در نتیجه داده‌ها در محدوده‌ی ۱۰ تا ۵۰ درجه‌ی عرض شمالی و ۴۰-تا ۸۰ درجه‌ی طول شرقی تنظیم شده است (شکل: ۱).



شکل ۱: شبکه‌بندی محدوده‌ی مورد مطالعه

برای شناسایی چرخندها دو شرط در نظر گرفته شد: ۱) ارتفاع ژئوپتانسیل مورد بررسی نسبت به هشت همسایه‌ی خود کمینه باشد؛ ۲) میانگین شیو ارتفاع ژئوپتانسیل بر روی یاخته‌ی مورد بررسی و هشت همسایه‌ی آن برابر یا کمتر از صد متر بر هزار کیلومتر باشد. شرط دوم تمامی چرخندهای ضعیف را حذف می‌نماید (به عبارتی تعداد زیادی از چرخندهای ضعیف گرمایی و چرخندهای گذاری را کنار می‌گذارد). به عبارت دیگر این شرط به سود چرخندهای ایستا (خواه دینامیکی و خواه گرمایی) هست. به این ترتیب برای هر یک از دیده‌بانی‌ها (سال، ماه، روز و ساعت دیده‌بانی) طول و عرض جغرافیایی، ارتفاع ژئوپتانسیل، میانگین منطقه‌ای شیو ارتفاع ژئوپتانسیل مراکز چرخندی (مراکز کمینه‌ی ارتفاع ژئوپتانسیل) به دست آمد. لازم به ذکر است که برای هر سال، در سال‌های نرمال ۱۴۶۰ و در سال‌های کبیسه ۱۴۶۴ دیده‌بانی به تفکیک روز، ماه و ساعت دیده‌بانی حاصل گردید. این پایگاه داده که ویژگی مراکز چرخندی را در خود دارد اساس واکاوی‌های بعدی چرخندها قرار گرفت. (مسعودیان، ۱۳۹۱: ۲۵)

برای محاسبه‌ی شیو منطقه‌ای ارتفاع ژئوپتانسیل مقدار شیو در مرکز کمینه‌ی ارتفاع ژئوپتانسیل و هشت همسایه‌ی آن به کمک رابطه‌ی (۱) و (۲) محاسبه شد:

$$\nabla z = \frac{\partial z}{\partial x} \hat{i} + \frac{\partial z}{\partial y} \hat{j} \quad (1)$$

$$|\nabla z| = \sqrt{\left(\frac{\partial z}{\partial x}\right)^2 + \left(\frac{\partial z}{\partial y}\right)^2} \quad (2)$$

به این ترتیب میانگین وزنی این ۹ شیو به عنوان شیو منطقه‌ای منظور شد. برای محاسبه‌ی شیو منطقه‌ای میانگین کسینوس مدار گذرنده از شمال و جنوب هر یاخته را به عنوان وزن هر یاخته لحاظ می‌کنند. درنتیجه میانگین منطقه‌ای شیو ارتفاع ژئوپتانسیل از طریق رابطه (۳) و (۴) محاسبه می‌گردد.

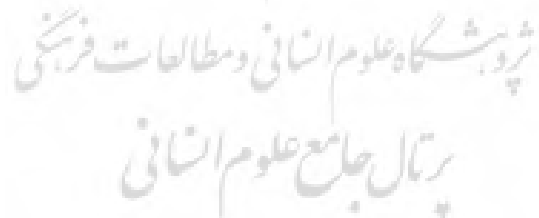
$$MRGP_G = \frac{1}{\sum_{i=1}^9 w_i} \sum_{i=1}^9 w_i |\nabla z|_i \quad (3)$$

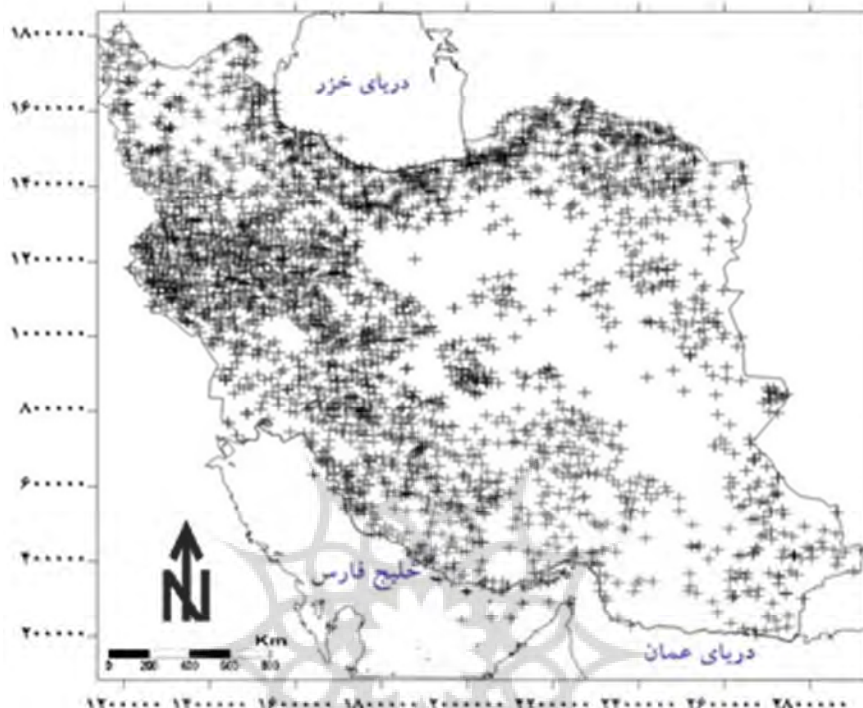
$$w_i = \frac{1}{2} (\cos \emptyset_n + \emptyset_s) \quad (4)$$

$\Phi_n$  عرض جغرافیایی مدار گذرنده از شمال یاخته‌ی هدف و  $\Phi_s$  عرض جغرافیایی مدار گذرنده از جنوب یاخته‌ی هدف است.  $|\nabla z|_i$  مقدار شیو ارتفاع ژئوپتانسیل یاخته‌ی  $i$  ام درون پنجره‌ی کرنل  $3 \times 3$  است.

#### ب-داده‌های محیطی:

در این بخش از داده‌های میان‌یابی شده بارش با به کارگیری ۲۹۳۹ ایستگاه استفاده شد. این داده‌ها از ابتدای سال ۱۳۳۸ تا انتهای سال ۱۳۹۲ (۱۹۶۰ تا ۲۰۱۳) با بهره‌گیری از روش کریجینگ به عنوان روش بهینه میان‌یابی به دست آمدند. تفکیک مکانی داده‌ها  $14 \times 14$  کیلومتر است که در سامانه تصویر مخروطی نگاشته شده‌اند و سراسر ایران با  $8289$  پیکسل پوشیده می‌شود. درنتیجه داده‌ها در ابعاد  $8289 \times 19724$  که زمان بر روی سطراها و مکان بر روی ستون‌ها قرار دارد جای گرفته‌اند. فرایند میان‌یابی داده‌ها با استفاده از زبان برنامه‌نویسی متلب انجام شده است (شکل ۲).





شکل ۲: پرائنس استگاه‌های به کار رفته در تهیی پایگاه داده‌های میان‌بایان

این پژوهش با بهره‌گیری از رویکرد گردشی به محیطی، به استخراج روزهای تؤمن با بارش فرآگیر بر اساس چرخندهای انتقالی به ایران پرداخته است. بهمنظور دست‌یابی به اهداف پژوهش؛ در ابتدا به استخراج مسیر چرخندهای وارد و خارج شده از مدیترانه به ایران پرداخته شده است. پس از حصول مسیرهای چرخندی، این مسیرها تبدیل به تاریخ گشت (تاریخ آغاز و پایان) و با در دست داشتن تاریخ، هریک از مسیرها بررسی شد که چگونه هر چرخند در طول زمان عبور در روزهای متفاوت بر ایران تأثیرگذار بوده است. در ادامه به استخراج مقادیر فشار هسته‌ی مرکزی در هر یک از روزهای متأثر پرداخته شد. در مرحله دوم به تعیین روزهای بارشی و پهنه‌ی تحت پوشش آن‌ها اقدام گردید. برای تعیین هریک از این موارد روش‌ها و معیارهای متفاوتی توسط محققان مختلف مطرح گشته است که در پژوهش حاضر روزی به عنوان روز بارشی برگزیده شده است که دارای بارش یک میلی‌متر یا بیشتر باشد. این آستانه پیش‌تر نیز به سیله برخی محققان مورد استفاده قرار گرفته است. برای مثال رجوع شود به عزیزی و علیزاده (۱۳۹۳). پهنه‌ی تحت پوشش با بهره‌گیری از شاخص صدک‌ها انتخاب گردید. ازین‌رو صدک ۲۵ به عنوان صدک مطلوب مورد استفاده قرار گرفت این صدک بدین سبب انتخاب گردید که برای مطالعه‌ی فرآگیر بودن بارش می‌بایست یک‌چهارم پایین داده‌ها (حد پایین) حذف می‌گردید. بر اساس این شاخص پهنه‌های که بیش از ۵ درصد مساحت ایران بارش داشته باشد روز بارشی در نظر گرفته می‌شود. براین اساس ۲۰۴۲ روز بارشی در طی این مرحله برای محاسبه‌ی مشخصات توصیفی داده‌ها همچون؛ میانگین حسابی، انحراف معیار، ضریب تغییرات و صدمه‌ها به منظور ارائه‌ی تصویری واضح‌تر و روشن‌تر از بارش فرآگیر ایران در نظر گرفته شده است.

## نتایج و بحث

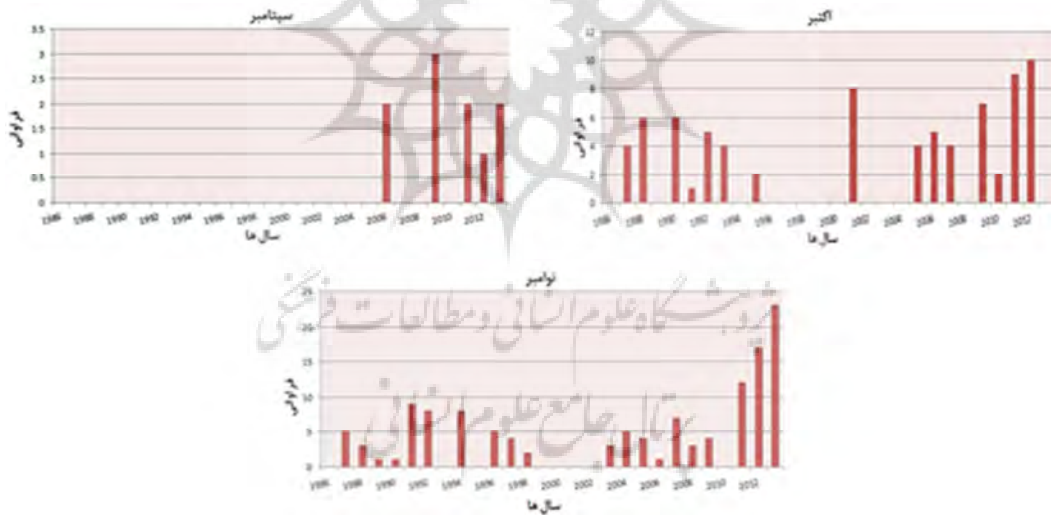
به سبب آن که ایران در مسیر چرخدندهای خاورمیانه قرار دارد و نقش دریای مدیترانه در رخداد ریزش‌های جوی در خور توجه است، در پژوهش حاضر پس از حصول سیر سامانه‌های چرخدنی انتقال‌یافته به ایران، به بررسی فراوانی رخداد بارش در ایران در طول دوره‌ی آماری موردمطالعه پرداخته شد که نتایج آن به شرح ذیل هست؛

فصل پاییز: در طی ماه سپتامبر ۱۰ چرخدن و ۱۵ سامانه چرخدنی، در ماه اکتبر ۷۷ چرخدن و ۴۰ سامانه چرخدنی وارد ایران شده است. در ماه نوامبر فراوانی چرخدندهای انتقال‌یافته به ایران ۱۲۵ چرخدن و ۳۷ سامانه‌ی چرخدنی است. بر این اساس در فصل پاییز، ماه اکتبر با ۴۰ سامانه‌ی چرخدنی، همچنین ماه نوامبر با اختلاف ناچیزی با ۳۷ سامانه بیشترین سامانه‌ی چرخدنی نفوذ یافته به ایران را به خود اختصاص داده‌اند و بیشترین فراوانی چرخدندهای واردشده به ایران متعلق به ماه نوامبر با ۱۲۵ چرخدن هست. در این شرایط با نزدیک شدن به فصل زمستان بر فراوانی چرخدنها افزوده می‌شود.

سه سامانه چرخدنی ثابت اثرگذار بر ایران در ماه سپتامبر به ترتیب فراوانی عبارت‌اند از: ۱- مرکز دریای مدیترانه، ۲- سیسیل و حوالی آن، ۳- بارسلون و حوالی آن. بیشترین فراوانی چرخدندها در سپتامبر مختص مرکز دریای مدیترانه است. در این شرایط بازوی بالاروندهای فرود دریایی مدیترانه بر روی شرق این دریا قرارگرفته و پشتی ترازهای بالایی جو با قرارگیری بر روی ایران شرایط رخداد بارش در ایران را کاهش می‌دهد. سیسیل، بارسلون و حوالی آن نیز به سبب فاصله‌ی بسیار زیاد از ایران، تأثیرگذاری آن‌ها کاهش یافته یا به صفر می‌رسد. در اکتبر هریک از سامانه‌های چرخدنی از موقعیت‌های مختلفی در دریای مدیترانه به‌سوی ایران حرکت نموده‌اند که می‌توانند شرایط متفاوت بارشی را در ایران ایجاد نمایند. این سامانه‌ها عبارت‌اند از: ۱- بارسلون و حوالی آن، ۲- تونس، ۳- سیسیل، ۴- مرکز دریایی مدیترانه، ۵- شرق دریای مدیترانه. با در نظر گرفتن سامانه‌ها و فراوانی و موقعیت آنها نسبت به ایران در ماه اکتبر در طول دوره‌ی آماری موردنظر انتظار افزایش فراوانی رخداد روزهای بارش در ایران نمی‌رود. در ماه نوامبر دوره‌ی آماری موردمطالعه، ۳۷ سامانه چرخدنی به ایران واردشده است عبارت‌اند از: (۱) حوالی بارسلون با انتقال ۱۰ چرخدن، (۲) تونس با ۵ چرخدن، (۳) سیسیل و حوالی آن با تعداد ۸ چرخدن، (۴) مرکز دریایی مدیترانه با ۸ چرخدن، (۵) شرق دریایی مدیترانه با ۶ چرخدن. سامانه‌ی نشأت گرفته از شرق دریایی مدیترانه که مؤثرترین سامانه‌ی ورودی به ایران است تعداد اندکی چرخدن به ایران انتقال داده است که انتظار فراوانی بالای روزهای توأم با بارش فراگیر را منتفی می‌سازد. از سوی دیگر بیشترین فراوانی چرخدنی انتقال‌یافته به ایران متعلق به سامانه‌ی نشأت گرفته از بارسلون و حوالی آن هست، که این سامانه به سبب دوری از ایران تأثیر بسیار ناچیزی (حتی صفر) بر ایران بر جای می‌گذارد.

بر اساس شکل ۳ در ماه سپتامبر که مصادف با اوایل شهریور تا اوایل مهرماه می‌باشد؛ کمترین فراوانی ماهانه مسیرهای چرخدنی رخداده است. در طی این ماه فراوانی ماهانه‌ی سامانه چرخدنی برابر ۱۵ مورد می‌باشد. بیشترین فراوانی بارش در سال ۲۰۰۹ با فراوانی ۳ روزبه وقوع پیوسته است. در این ماه هیچ جریانی از شرق دریایی مدیترانه نشأت نگرفته است. در سپتامبر به دلیل بیشینه جریان‌های نشأت گرفته از مرکز دریایی مدیترانه رخداد بارش‌های محدود در ایران دور از انتظار نیست. کمترین میزان فراوانی در این ماه نیز متعلق به سال‌های ۱۹۸۶ تا ۲۰۰۵ و ۲۰۰۷، ۲۰۰۸ و ۲۰۱۰ است که دارای فراوانی صفر روز هست. ماه اکتبر مصادف با اوایل مهر تا اوایل آبان (اوایل

پاییز ایران) هست. در این ماه ۴۰ جریان از سوی مدیترانه به ایران انتقال یافته است. از میان این ۴۰ سامانه‌ی چرخنده انتقال یافته به ایران شش سامانه‌ی چرخنده از شرق مدیترانه آغاز گشته است. به دلیل کاهش فراوانی جریان‌های آغاز شده از شرق دریای مدیترانه، احتمالاً در طی این ماه بارش‌های رخداده ناشی از جریان‌هایی است که از شرق مدیترانه نشأت می‌گیرد. بیشینه‌ی فراوانی در ماه اکتبر در سال ۲۰۱۲ با فراوانی ۱۰ روزیه و قوع پیوسته است. کمینه‌ی فراوانی در این ماه نیز متعلق به سال‌های ۱۹۸۶، ۱۹۸۹، ۱۹۹۴، ۱۹۹۶، ۱۹۹۹ تا ۲۰۰۰ تا ۲۰۰۴ است. کمینه‌ی فراوانی در این ماه نیز متعلق به سال‌های ۲۰۰۲، ۲۰۰۳ و ۲۰۱۳ است که دارای فراوانی صفر روز هست. این مقدار بیانگر آن است که هیچ‌یک از نقاط ایران بارش فراغیری را تجربه نکرده است. ماه نوامبر مصادف با اوایل آبان تا اوایل آذر است. در این ماه ۳۷ سامانه‌ی چرخنده انتقال یافته به ایران از سوی بارسلون می‌باشد و شرق دریای مدیترانه در اولویت چهارم قرار می‌گیرد (با فراوانی شش جریان) و درنتیجه انتظار وقوع بارش کم در این ماه دور از انتظار نیست. با توجه به شکل ۴ هریک از مستطیل‌های موجود در نمودار بیانگر رخداد بارش در هریک از سال‌های مورد بررسی است، در طی این ماه مقادیر این مستطیل‌ها (فراوانی) کاهش یافته است. بیشینه‌ی فراوانی در طی این ماه مربوط به سال ۲۰۱۳ با فراوانی ۲۳ روز هست. کمینه‌ی فراوانی را سال‌های ۱۹۸۶، ۱۹۹۳، ۱۹۹۵، ۱۹۹۹ تا ۲۰۰۲ و ۲۰۱۰ به خود اختصاص داده‌اند. مقادیر این فراوانی‌ها برابر با صفر روز می‌باشد. بنابراین در طی سال‌های مذکور هیچ‌یک از نقاط ایران بارش فراغیر نداشته است.



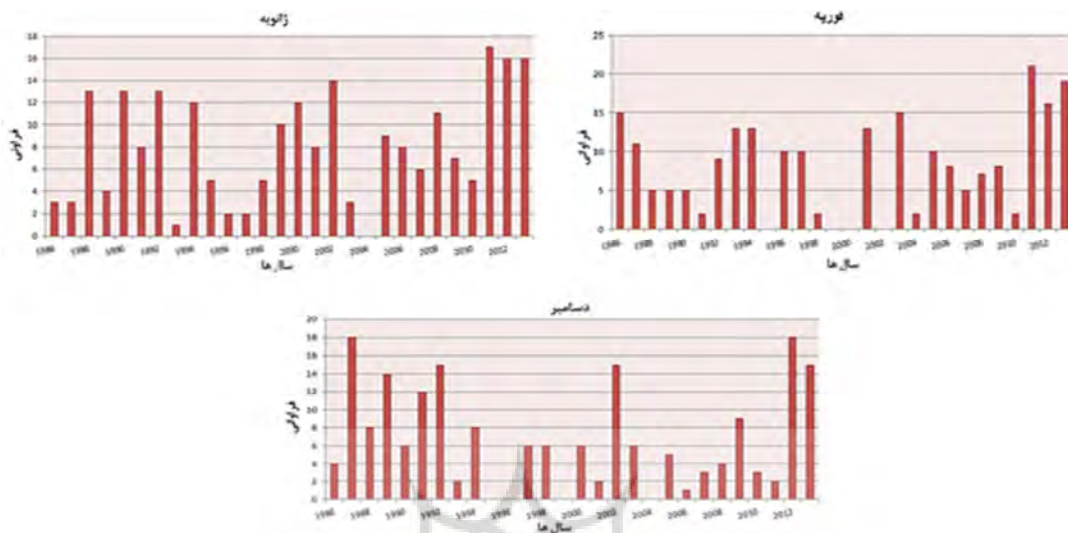
شکل ۳: نمودار فراوانی رخداد بارش در فصل پاییز برای طول دوره‌ی آماری (۲۰۱۳-۱۹۸۶)

فصل زمستان: در طی ماه دسامبر ۱۸۸ چرخدن و ۵۵ سامانه‌ی چرخنده وارد کشور شده‌اند؛ در ژانویه فراوانی چرخدنها به ۲۲۶ و سامانه‌های چرخنده به ۸۴ مورد افزایش داشته است؛ در ماه فوریه فراوانی چرخدندهای انتقال یافته به ایران به همان میزان ماه ژانویه هست، این در حالی است که سامانه‌های چرخنده نفوذی در این ماه به میزان ۵۲ سامانه کاهش یافته است. بر این اساس بیشترین سامانه‌ی چرخنده نفوذ یافته به ایران در ماه دسامبر و بیشترین فراوانی چرخدنی مصادف با ماه‌های ژانویه و فوریه هست.

در طی ماه‌های ژانویه در دوره‌ی آماری موردمطالعه (۲۰۱۳-۱۹۸۶)، چرخدندهای انتقال یافته به ایران از نقاط خاصی از دریای مدیترانه نشأت گرفته که عبارتند از: اقیانوس اطلس، حوالی بارسلون، دریای یونان و حوالی سیسیل. با توجه

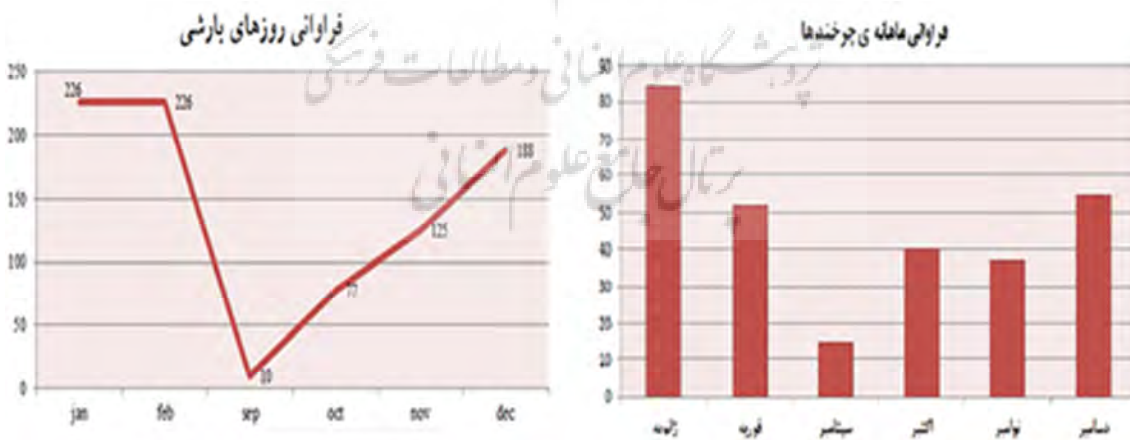
به اینکه انتقال چرخند از شرق دریای مدیترانه همراه با انتقال بازوی بالاروندهای فرود بر ایران هست درنتیجه در طی بیشترین تأثیرگذاری را در رخداد بارش ایران دارد. در ماههای فوریه‌ی دوره‌ی آماری، سامانه‌های مذکور با سرمنشأهای متفاوتی همچون ماه زانویه، تأثیرگذاری متفاوتی را بر ایران داشته‌اند، این سرمنشأها عبارت‌اند از؛ بارسلون و حوالی آن، تونس، سیسیل، مرکز دریای مدیترانه، شرق دریای مدیترانه. در طی این ماه بیشترین چرخند از شرق دریای مدیترانه و کمترین آن‌ها از سیسیل و حوالی آن آغاز گشته است. به سبب تأثیرگذاری زیاد مسیر نشأت گرفته از شرق دریای مدیترانه بر ایران می‌توان استنباط نمود که در طی این ماه نیز فراوانی رخداد بارش قابل توجه باشد. در سومین ماه از فصل زمستان که مصادف با ماه دسامبر است، سامانه‌هایی که به ایران نفوذ نموده‌اند عبارتنداز؛ بارسلون و حوالی آن، سیسیل و دریای یونان، تونس و حوالی آن، مرکز دریای مدیترانه، شرق دریای مدیترانه. این ماه نیز شرایطی همچون ماه نوامبر در فصل پاییز را تجربه می‌نماید، با این تفاوت که در این ماه شرق دریای مدیترانه در رتبه‌ی دوم ازنظر تعداد چرخندگان انتقالی به ایران قرار می‌گیرد. بهبیان دیگر شرایط به زمانی بازمی‌گردد (زانویه و فوریه) که چرخندگان انتقالی از شرق دریای مدیترانه بیشترین میزان را به خود اختصاص داده‌اند.

نتایج حاصل از بررسی فراوانی رخداد بارش‌های همراه با حضور چرخندگان در فصل زمستان هر یک از سال‌ها در شکل ۴ آمده است. بر طبق این شکل در طی ماه زانویه می‌توان یک فرایند شبیه نوسانی (کاهشی-افزایشی-کاهشی) را در فراوانی‌ها مشاهده نمود. در طی این ماه بیشترین فراوانی رخداد در سال ۲۰۱۱ به وقوع پیوسته است که فراوانی ۱۷ روز را به خود اختصاص داده است. از میان ۸۴ سامانه چرخندی که در طول زانویه‌ی موردنبررسی وارد ایران شده‌اند؛ خواستگاه ۳۲ سامانه، شرق دریای مدیترانه (تأثیرگذارترین مکان انتقال چرخندگان) بوده است. ازین‌رو وحدت فراوانی بالای رخداد بارش در این ماه، در کشور دور از انتظار نیست؛ همچنانی کمترین میزان این فراوانی متعلق به سال ۲۰۰۴ است. در طی زانویه‌ی این سال هیچ بارش فراغیری در کشور مشاهده نمی‌شود. در ماه فوریه که مصادف با اوایل بهمن تا اوایل اسفند است. در طی فوریه نیز همچون ماه گذشته بیشترین فراوانی بارش متعلق به سال ۲۰۱۱ است که مقدار این فراوانی برابر با ۲۱ روز است. در طی این ماه ۵۲ سامانه چرخندی بهسوی ایران جریان یافته‌اند، که بیشترین اثرگذاری شامل جریان‌هایی است که از شرق مدیترانه وارد ایران شدند؛ از میان این ۵۲ چرخند ۱۵ سامانه به شرق مدیترانه اختصاص دارد. کمترین میزان فراوانی این ماه در سال‌های ۱۹۹۵، ۱۹۹۹ و ۲۰۰۰ و ۲۰۰۲ که برابر با صفر روز بوده است دیده می‌شود. در طی این سال‌ها نیز هیچ بارش فراغیری در ماه فوریه مشاهده نمی‌شود. ماه دسامبر مصادف با اوایل آذر تا اوایل دی‌ماه می‌باشد. بیشترین فراوانی سامانه‌های چرخندی انتقال یافته، از منطقه‌ی بارسلون دریایی مدیترانه بهسوی ایران در جریان بوده است و شرق دریای مدیترانه در رتبه‌ی دوم با فراوانی ۱۴ جریان، قرارگرفته است. این شرایط دور از انتظار نیست؛ چراکه بیشترین فراوانی جریان‌های انتقال یافته از شرق مدیترانه به ایران، در ماه زانویه به وقوع می‌پیوندد و همین امر نیز سبب رخداد بارش‌های زیاد در طی این ماه است. بیشترین فراوانی در سال‌های ۱۹۸۷ و ۲۰۱۲ با فراوانی ۱۸ روز، رخداده است. کمترین فراوانی در طی سال‌های ۱۹۹۵، ۱۹۹۶، ۱۹۹۹ و ۲۰۰۴ به وقوع پیوسته است. مقادیر این فراوانی‌ها برابر با صفر روز می‌باشد. این مقادیر حاکی از آن است که در طی سال‌های مذکور هیچ‌بک از نقاط ایران بارش فراغیری نداشته است.



شکل ۴: فراوانی رخداد بارش فصل زمستان برای طول دوره‌ی آماری (۲۰۱۳-۱۹۸۶)

شکل ۵ فراوانی ماهانه‌ی روزهای بارشی و سامانه‌های چرخندی در ماههای موردبررسی را به تصویر می‌کشد. همان‌طور که پیش‌تر نیز اشاره شد، بیشینه چرخندزایی در ماه ژانویه و کمینه چرخندزایی در ماه سپتامبر رخ می‌دهد، از سپتامبر تا ژانویه بر فراوانی چرخندها افزوده می‌شود. بیشترین فراوانی چرخندهای انتقال‌یافته به ایران متعلق به ماه ژانویه هست. کمترین میزان این سامانه‌های چرخندی برای ماه سپتامبر هست. در یک نتیجه‌گیری کلی بیشترین فراوانی مسیرها به ترتیب شامل: ۱- ماه ژانویه، ۲- دسامبر، ۳- فوریه، ۴- اکتبر، ۵- نوامبر و ۶- سپتامبر است.

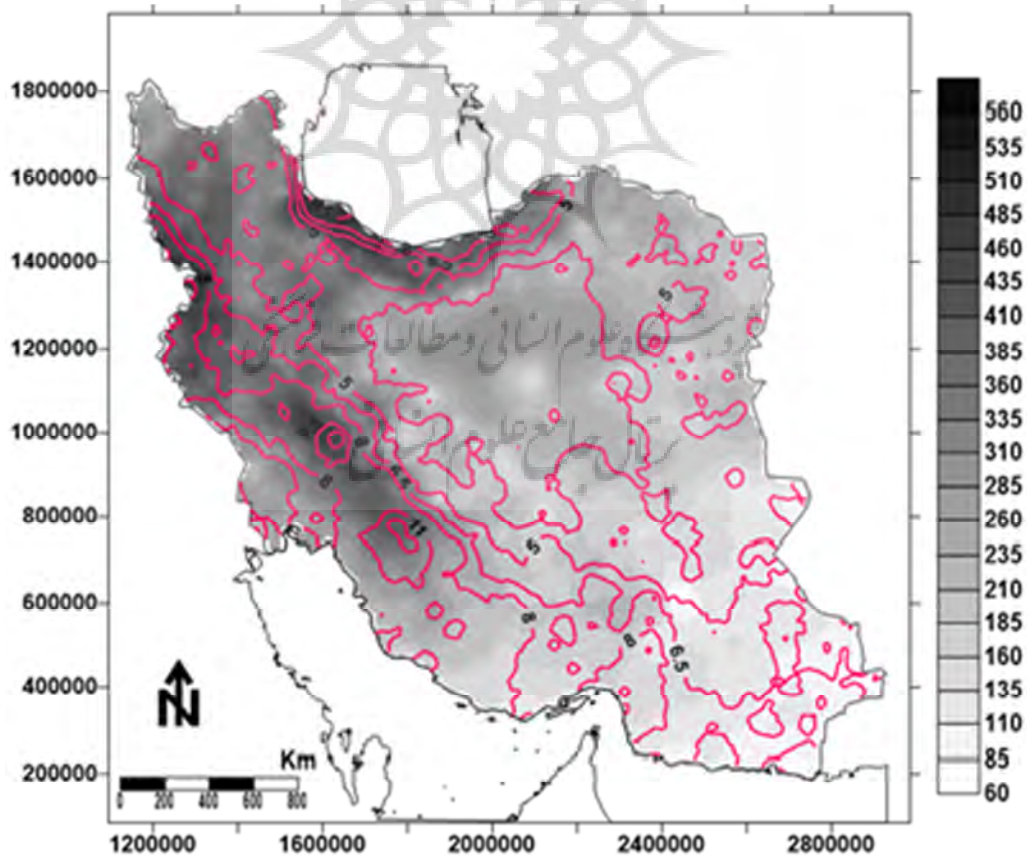


شکل ۵: نمودار فراوانی ماهانه‌ی چرخندها و روزهای بارشی (۲۰۱۳-۱۹۸۶)

شکل ۶ شرایط را در زمان رخداد بارش فرآگیر به تصویر می‌کشد. در پس‌زمینه‌ی این نقشه فراوانی رخداد بارش‌های بیش یا برابر یک میلی‌متر برای هر پیکسل و منحنی میزان‌ها نشانگر میانگین بارش هر پیکسل در طی دوره آماری در ایران می‌باشند. با توجه به نقشه، مناطقی از ایران از جمله: شمال، شمال غرب، بخش‌هایی از غرب ایران دارای

فراوانی و میانگین بالای بارش هستند. این شرایط نشان از تأثیر بیشتر چرخدندها و بارش‌های یکنواخت در این مناطق است. مناطق شمال شرق و شرق ایران دارای فراوانی بین ۲۳۵-۲۶۰ روز هست. با توجه به فراوانی و میانگین پایین بارش در این نواحی که نشانه‌ی تأثیرگذاری چرخدندهای کم‌توان است سبب رخداد بارش‌های کم در این مناطق از ایران بوده است.

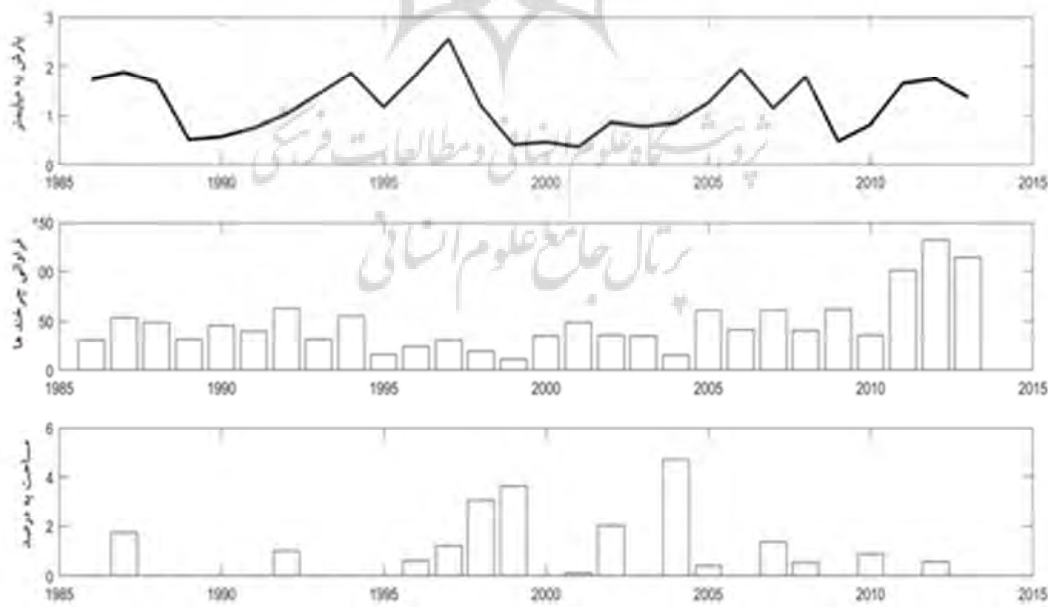
استان‌هایی از جمله؛ قم، مرکزی، اصفهان، یزد نیز شرایطی همچون نواحی شمال شرق و شرق ایران و سیستان و بلوچستان شرایطی کاملاً متفاوت با دیگر نقاط ایران را دارد. این تفاوت بدین صورت است که؛ در این منطقه از ایران فراوانی بسیار کم، بین ۸۵-۶۰ روز بوده است. با وجود فراوانی بسیار کم نسبت میانگین بارش به فراوانی وقوع در این منطقه زیاد است. این شرایط حاکی از آن است که در این منطقه از ایران رخداد بارش‌های سیلابی دور از انتظار نیست. برای شرق کرمان شرایط به شکل حادتری خود را نشان داده است. چراکه فراوانی رخداد بارش بیش یا برابر یک میلی‌متر در این منطقه به کمترین حد ممکن خود رسیده و از جانب دیگر وقوع میانگین (تقرباً) بالای حدود ۵ میلی‌متر در این بخش از ایران شرایط وقوع بارش‌های سیلابی را بیش‌ازپیش تشدید می‌کند، چراکه فراوانی کم بارش برابر یا بیشتر از یک میلی‌متر تنها در یک پیکسل محدود از ایران و میانگین بالای بارش در این پیکسل نشان از رخداد بارش نسبتاً بالا در این منطقه می‌باشد. این شرایط زمینه را برای سیلابی بودن بارش فراهم می‌کند.



شکل ۶: نقشه فراوانی رخداد بارش برابر یا بیش از یک میلی‌متر (بس‌زمینه)، نقشه‌ی میانگین بارش به میلی‌متر (منحنی میزان‌ها)

شکل ۷ نمایش دهنده‌ی روند تغییرات بارش، فراوانی چرخندها، درصد پهنه‌ی تحت تأثیر بارش (لازم به توضیح است که پهنه‌های کمتر از یک درصد در نمودار نادیده گرفته شده‌اند) هست. بر اساس نمودار بارش می‌توان یک تناوب (افزایشی-کاهشی) را در داخل دوره آماری در مقدار بارش، فراوانی رخداد بارش و در پهنه‌ی تحت تأثیر بارش مشاهده نمود. با توجه به نمودار رخداد بارش، در سه سال انتهایی در دوره‌ی موردمطالعه جهشی بزرگ رخداده است و تعداد زیادی چرخند به ایران انتقال یافته است که به همان میزان بارش نیز افزایش یافته است. این در حالی است که پهنه تحت تأثیر بارش در سه سال انتهایی کاهش نشان داده است. به بیان ساده‌تر بالاین که میزان چرخندهای نفوذ کرده در طی سه سال انتهایی مقدار قابل توجهی بوده است، ولی درصد بسیار کمی از ایران را متاثر کرده است. این شرایط برای سال ۱۹۹۹ که میزان چرخندها بسیار کم و فقط در طی ماه ژانویه به ایران نفوذ کرده است نیز صادق است. بر اساس نمودار سال ۱۹۹۹ که دارای کمترین میزان چرخندهای انتقال یافته به ایران و کمترین بارش است، میزان پهنه‌ی تحت تأثیر بارش مقدار زیادی را به خود اختصاص داده است.

بر طبق نمودار مذکور بهترین حالت ممکن برای پهنه‌ی تحت تأثیر بارش در سال ۲۰۰۴ با ۵ درصد پهنه‌ی تحت تأثیر رخداده است. در طی این سال تعداد چرخندهای نفوذی به ایران کم و میزان بارش در حال افزایش بوده است. در طی دوره‌ی آماری موردمطالعه بین میزان چرخندهای نفوذی و میزان بارش، با پهنه‌ی تحت تأثیر آن رابطه‌ی معکوس وجود دارد، یعنی هرگاه میزان چرخندهای نفوذی به ایران کم باشد، میزان بارش‌ها نیز کم بوده ولی پهنه‌ی تحت تأثیر آن افزایش می‌یابد. به بیان ساده‌تر بارش‌ها در پهنه‌ی ایران توزیع شده و در یک مکان متتمرکز نمی‌شود عکس این مسئله نیز صادق است.



شکل ۷: نمودار تحلیل روند تغییرات بارش و پهنه‌ی تحت تأثیر آن

### نتیجه گیری

در تحقیق حاضر ساز و کار تأثیر چرخندهای مدیترانه در بارش‌های فراگیر فصل زمستان ایران ارائه شده است. این هدف بدین منظور انتخاب گردیده که یکی از مهم‌ترین عوامل تأثیرگذار بر بارش فصل سرد سال ایران چرخندهای نشأت گرفته از دریای مدیترانه است. با این وجود پژوهش‌های بسیارکمی در این ارتباط صورت گرفته است. در پژوهش حاضر ابتدا مسیر حرکت و انتقال هریک از چرخندهای مدیترانه‌ای حاصل گردید و پس از آن با بهره‌گیری از ویژگی‌های آماری روزهای بارش فراگیر، تأثیر چرخندهای مدیترانه‌ای مورد تجزیه و تحلیل قرار گرفت که در نهایت براساس پژوهش فوق این امر تأیید گردید که چرخندهای مدیترانه‌ای نقش بسزایی در بارش‌های فصل سرد سال (زمستان و پاییز) ایفا می‌کند. تأثیرگذاری این چرخندها در طی فصول زمستان و پاییز دارای شدت و ضعف می‌باشد (در برخی سال‌ها یا ماه‌ها شدت بیشتر بوده و در برخی دیگر شدت کمتر می‌باشد)، لازم به ذکر است که براساس نتیجه حاصل از پژوهش نمی‌توان تنها دریای مدیترانه را مسبب رخداد بارش‌ها معرفی کرد. براساس موقعیت جغرافیایی ایران ادغام چرخندهای نشأت گرفته از دریای سیاه، سرخ، اقیانوس هند و دریای مدیترانه با یکدیگر و عواملی همچون: عامل صعود، وجود هستک‌های بارشی، توپوگرافی از عوامل موثر بر رخداد بارش‌ها است. در طی دوره آماری مورد مطالعه علاوه بر ورود چرخندها، عوامل زمینه‌ساز بارش نیز وجود داشته که منتهی به رخداد بارش در ایران شده است. علاوه بر مطالب مطرح شده در بالا قرارگیری محور فروند دریای مدیترانه در غرب، مرکز و یا شرق این دریا نیز در تأثیرگذاری هرچه بیشتر چرخندها نقش مهمی ایفا می‌کند. نتایج پژوهش حاکی از آن است که وجود محور فروند دریایی مدیترانه در شرق این دریا و انتقال بازوی بالارونده فروند آن بر ایران از تأثیرگذارترین حالت‌های انتقال چرخندها به ایران است که مسبب رخداد بیشترین بارش‌ها در ایران شده است. نتیجه پژوهش جعفری‌گلو و همکاران<sup>(۱)</sup> هم تأییدگر پژوهش حاضر است که چرخندزایی شرق دریای مدیترانه (اطراف جزیره قبرس و کرت) بیشترین تأثیر را در دوره‌های ترسالی ایران دارد. در پژوهش حاضر، بر کانون‌های اصلی چرخندزایی دریایی مدیترانه و تأثیر آن پرداخته شده است در حالی که نیکولاید و همکاران<sup>(۲)</sup> علاوه بر تأیید این مسئله که غرب و شرق دریایی مدیترانه کانون‌های اصلی چرخندزایی هستند به مطالعه‌ی مناطق چرخندزایی ثانویه پرداختند. در این تحقیق به بهره‌گیری از تمامی چرخندهای تولید شده در دریای مدیترانه اشاره شده ولی کمپینزو و همکاران<sup>(۳)</sup> تنها با تأکید بر جایه جایی چرخندهای غرب دریایی مدیترانه به این موضوع اشاره کردند.

با در نظر گرفتن این مسئله که از یک سو تفکیک زمانی و مکانی داده‌ها و از سوی دیگر معیارها و شرایطی که پژوهشگران برای جایابی و ردگیری می‌پذیرند سبب دگرگونی نتایج پژوهش می‌شود. بنابراین داوری نتایج این پژوهش‌ها باید با در نظر داشتن همین نکات انجام پذیرد. بر طبق نتایج حاصل از پژوهش فوق در طول دوره‌ی آماری مورد بررسی مدت ماندگاری چرخندها بطور متوسط چهار روز بوده است. بر این اساس تعداد سامانه‌های چرخندی منتقل شده در طی فصل زمستان کمتر از تعداد روزهای بارشی در ماههای مورد مطالعه است. این موضوع تأیید کننده‌ی این مسئله است که لزماً وجود چرخندها زمینه‌ساز رخداد بارش نیست بلکه عوامل دیگری همچون وجود رطوبت کافی، شرایط مناسب صعود، هستک‌های بارش نقش تعیین کننده‌ای در وقوع بارش‌های چرخندی ایفا

<sup>۱</sup> - Nicolaides.etc

<sup>۲</sup> - Campins.etc

می‌کنند. چنان‌که علیجانی (۱۳۶۶) نیز اثبات کرده است، تنها وجود توپوگرافی عامل کنترل کننده‌ی پراکندگی سیکلونی نمی‌باشد بلکه عواملی همانند بادهای سطح بالای جو در نفوذ سیکلون‌ها به مکان‌های مختلف و رخداد بارش نقش موثری دارند.

بررسی‌های صورت گرفته بر تغییرات بارش حاکی از آن است که دوره‌ی آماری به دو نیم دوره تقسیم می‌گردد که شامل: نیم دوره‌ی اول از ۱۹۸۶-۲۰۰۰ و نیم دوره‌ی دیگر از ۲۰۱۳-۲۰۰۱ می‌باشد. در طی نیم دوره‌ی اول، فراوانی چرخندها پایین اما میانگین بارش مقدار بالایی را به خود اختصاص داده است. این شرایط برای نیم دوره‌ی دوم معکوس گردیده است و فراوانی چرخندها افزایش یافته و از میزان میانگین بارش کاسته شده است. به بیان دیگر رابطه بین میانگین بارش رخداده با فراوانی ورود چرخندها معکوس می‌باشد. همانطورکه گنگ و سوگی<sup>۱</sup> در سال ۲۰۰۱ نشان دادند رابطه‌ی نزدیکی بین تغییرات عمودی و افقی دما با فعالیت‌های سیکلونی وجود دارد. در نتیجه میتوان شرایط رخ داده در دوره آماری مورد مطالعه را به گرمایش جهانی نسبت داد. با توجه به اینکه چرخندها بخشی از انرژی خود را از گرما می‌گیرند درنتیجه‌ی گرمایش جهانی (افزایش دما)، چرخندزایی بیشتری را شاهد هستیم.

نتایج حاصل شده از بررسی فراوانی چرخندها، میانگین بارش و پهنه تحت تأثیر بارش نشان می‌دهد که رابطه‌ای مستقیم بین چرخندهای ورودی و میانگین بارش و رابطه معکوس بین میزان چرخندهای نفوذی و پهنه تحت تأثیر بارش وجود دارد. به بیان ساده‌تر هرگاه ورود چرخندها افزایش یابد پهنه تحت تأثیر هریک از آن‌ها کاهش می‌یابد و در عوض مقدار بارش در این منطقه افزایش می‌یابد. به عبارت دیگر هرگاه بارش در ایران افزایش یابد این بارش پهنه‌های کمتری از ایران را تحت تأثیر قرار می‌دهد، درنتیجه‌ی این اتفاق، احتمال رخداد بارش سیلابی در ایران افزایش می‌یابد.

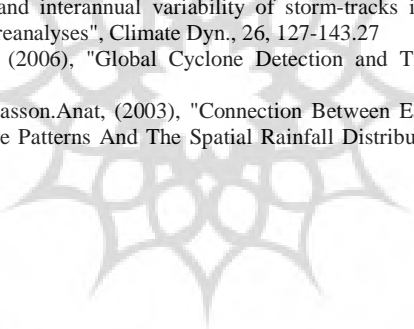
بررسی فراوانی رخداد بارش فراغیر در طی شش ماهه‌ی مورد نظر بیانگر آن است که در ماههای آتی پس از ژانویه از فراوانی بارش‌های فراغیر کاسته شده است. این سیر نزولی تا ماه نوامبر ادامه دارد و از ماه اکتبر به بعد از شدت کاهش این فراوانی کاسته می‌شود. در ماه دسامبر ایران شرایطی همچون ماه فوریه را تجربه می‌نماید این وضعیت متناظر با زمان‌هایی است که بیشترین بارش‌ها در ایران به وقوع می‌پیوندد. تغییرات فراوانی بارش‌های فراغیر با افزایش حضور بادهای غربی در کشور که عامل اصلی هدایت چرخندها هستند هماهنگی دارد. مناطقی از ایران مثل شمال، شمال‌غرب و بخش‌هایی از غرب بیشتر تحت تأثیر چرخندها قرار گرفته و بارش یکنواختی را تجربه می‌کنند. این در حالی است که سیستان و بلوچستان مقدار چرخندهای ورودی بسیار پایین اما میانگین بارش بالایی را شاهد است. این شرایط می‌تواند منجر به رخداد بارش‌های سیلابی بیشتری در این منطقه گردد. در یک نگاه کلی ایران دارای سه منطقه متفاوت بارشی است که عبارتند از: مناطقی که بارش‌های یکنواخت و مناسبی دارند، مناطقی که دارای بارش بسیار کم هستند و نهایتاً مناطقی که بارش‌های سیلابی را تجربه می‌کنند.

<sup>۱</sup> - Geng & Sugi

## منابع

- ایران نژاد پرویز، احمدی گیوی فرنگ، محمد نژاد علیرضا، (۱۳۸۸)، "اثر مراکز چرخندزای مدیترانه بر بارش سالانه ایران در دوره ۱۹۶۰ تا ۲۰۰۲"، مجله‌ی ژئوفیزیک، شماره ۱: ۹۱-۱۰۵.
- جهانبخش سعید، خورشید دوست علی‌محمد، میر‌هاشمی حمید، (۱۳۹۷)، "ساز و کارشکل گیری چرخند در بادپناه کوهستان زاگرس"، جغرافیا و برنامه‌ی بزری محیطی، شماره ۱: ۱۷۷-۱۹۲.
- حجازی زاده زهرا، صداقت مهدی، (۱۳۸۸)، "مسیریابی رقومی سیکلون‌های خاورمیانه در دوره سرد سال"، پژوهش‌های جغرافیای طبیعی، شماره ۱-۶۹: ۱۷۷-۱.
- حیدری محمدامین، خوش‌الخلق فرامرز، (۱۳۹۴)، "اثر گرمایش جهانی بر مرکز چرخندزایی شرق مدیترانه و ارتباط آن با ناهنجاری بارش نیمه‌ی غربی ایران"، مطالعات جغرافیایی مناطق خشک، شماره ۲۲: ۷۲-۸۸.
- حلبیان امیرحسین، حسینعلی پورجذی فرشته، (۱۳۹۳)، "تحلیل فراوانی رودبادهای مرتبه با بارش‌های حدی و فرآگیر در کرانه‌های غربی خزر"، تحقیقات جغرافیایی، شماره ۱: ۲۰۵-۲۲۰.
- خسروی یونس، دوستکامیان مهدی، طاهریان‌اله مراد، (۱۳۹۶)، "بررسی و تحلیل الگوی فرارفت رطوبتی بارش‌های فرآگیر ایران"، جغرافیا، شماره ۵۳: ۲۵۱-۲۶۴.
- سلیقه محمد، ناصر زاده محمدحسنین، چهره‌آرا تهمینه، (۱۳۹۵)، "بررسی رابطه شخص‌های CACO و NCPI با بارش‌های فرآگیر پاییزه، سواحل خزر جنوبی"، تحقیقات کاربردی علوم جغرافیا، شماره ۴۳: ۲۱۷-۲۲۸.
- عساکری حسین، رزمی رباب، (۱۳۹۰)، "اقیلم‌شناسی بارش شمال غرب ایران"، جغرافیا و توسعه، شماره ۲۵: ۱۳۸-۱۵۸.
- علی‌زاده تیمور، عزیزی قاسم، محب‌الحجه علیرضا، خوش‌الخلق فرامرز، (۱۳۹۴)، "شناسایی تغییرات زمانی مکانی چرخندگان شدید در مدیترانه، با یک الگوریتم عددی"، فیزیک و زمین و فضای، شماره ۲: ۴۰۵-۴۱۷.
- علی‌زاده تیمور، عزیزی قاسم، روستا ایمان، (۱۳۹۱)، "وکاوی الگوهای گردشی تراز ۵۰ هكتوپاسکالت جو هنگام رخداد بارش‌های فرآگیر و غیر فرآگیر در ایران"، برنامه‌ی ریزی و آمایش فضای، شماره ۱-۲: ۲۴-۲۶.
- علی‌زاده تیمور، عزیزی قاسم، (۱۳۹۳)، "ارتباط بین تیپ الگوهای گردشی تراز دریا، با بارش‌های فرآگیر در ایران"، پژوهش‌های جغرافیای طبیعی، شماره ۱۰-۴۶: ۳۱۰-۳۹۷.
- علیجانی بهلول، (۱۳۸۵)، "اقیلم‌شناسی سینوپتیک"، انتشارات سمت، تهران، صص ۲۷۲-۲۷۷.
- علیجانی بهلول، (۱۳۶۶)، "رابطه‌ی پراکندگی مکانی مسیرهای سیکلونی خاورمیانه با سیستم‌های هوایی سطح بالا"، مرکز تحقیقات نورمگس، شماره ۴: ۱۲۵-۱۴۳.
- کاویانی محمدرضا، علیجانی بهلول، (۱۳۹۱)، "مبانی آب‌وهواشناسی"، چاپ ۱۷، تهران: انتشارات سمت، ۵۳۲.
- مصطفوی‌ای حسن، علیجانی بهلول، سلیقه محمد، (۱۳۹۴)، "تحلیل سینوپتیکی بارش‌های شدید و فرآگیر در ایران"، تحلیل فضایی مخاطرات محیطی، شماره ۴: ۶۵-۷۶.
- Alpert, P., Neeman, B. U. and Shay-El, Y., (1990), "Climatological analysis of Mediterranean cyclones using ECMWF data", TellusA, 42, 65-77.
- Alpert, P. Osetinsky, I. Ziv, B. Shafir, H., (2004), "Semi-Objective Classification For Daily Synoptic System: Application To The Eastern Mediterranean climate Change", International journal of climatology, 24: 1001-101.
- Blender R, Schubert.M , (1999), "Cyclone Tracking in Different Spatial and Temporal Resolutions", American Meteorological Society: 377-384.
- Bengtsson, L., Hodges, K.I., Roeckner, E., (2006), "Storm Tracks and Climate Change, Journal of Climate", 19, 3518-3543.
- Campins, J., Genovés, A., Guijarro, J. A. Jansa, A., and Ramis, C., (2000), "A catalogue and a classification of surface cyclones for the Western Mediterranean", Int. J. Climatol., 20, 969-984.
- Campins, J., Genoves, A., Jansa, A., (2006), "Three-Dimensional Structure of Western Mediterranean Cyclones", J. Climatol. 26: 323-343.
- Eshel, G., Cane, M. A and Farrell, B. F., (2000), "Forecasting eastern Mediterranean droughts", Mon. Wea. Rev., 128, 3618-3630.
- Flocas, H., Kouroutzoglou, J., Keay, K., Simmonds, I., (2010), "On Cyclonic Tracks over the Eastern Mediterranean", Journal of Climate, Volume 23, October 2010.

- Geng.Quanzhen, Sugi. Masato, (2001), "Possible Change of Extratropical Cyclone Activity due to Enhanced Greenhouse Gases and Sulfate Aerosols—Study with a High-Resolution AGCM", Journal of climate, NO 16. 2262-2274.
- Hoskins. Brian J, Hodges. Kevin I., (2001), "New Perspectives on The Northern Hemisphere Winter Storm Tracks". American Meteorological Society, 1041-1061.
- Kostopoulou. E., Jones. P. D., (2007), "Comprehensive analysis of the climate variability in the eastern Mediterranean. Part II: relationships between atmospheric circulation patterns and surface climatic elements", International Journal Of Climatology, 27: 1351-1371.
- Lionello. P, Dalan . F, Elvini. E., (2002), "Cyclones in the Mediterranean region: the present and the doubled co\_2 climate scenarios", CLIMATE RESEARCH, 147-159.
- Lionello. Piero, Trigo . Isabel F, Etc., (2016), "Objective climatology of cyclones in the Mediterranean region: a consensus view among methods with different system identification and tracking criteria", JOURNAL TELLUS,68: 1\_18.
- Michaelides, S. C., Karacostas T. and Nicolaides, K. A. (2004). "Spatial Distribution of some Dynamic Parameters during the Evolution of Selected Depressions over the Area of Cyprus", Intern. J. Climatol, 24, 1829.
- Nissen.K.M , Leckebusch. G. C, Etc., (2010), "Cyclones causing wind storms in the Mediterranean: characteristics, trends and links to large-scale patterns", Natural Hazards and Earth System Sciences, 10: 1379–1391.
- Picornell, M. A., Campins, J., Genoves, A. and Jansa', A., (2001), "Automated database of mesocyclones from the HIRLAM (INM) 20.58 analyses in the Western Mediterranean", Int. J. Climatol., 21, 335-354.
- Ramis, C.; R. Homar, M. Alarcon, Serigo. S. Romero and V. Alonso, (1998)," Diagnosis and numerical simulation of a torrential precipitation event in Catalonia (Spain)", Meteorology and Atmospheric Physics, 69: 1–21.
- Trigo. Isabel F, Bigg. Grant R, Davies. Trevor D, (2001), "Climatology of Cyclogenesis Mechanisms in the Mediterranean", American Meteorological Society:549-569.
- Trigo, I. F., (2006), "Climatology and interannual variability of storm-tracks in the EuroAtlantic sector: a comparison between ERA-40 and NCEP/NCAR reanalyses", Climate Dyn., 26, 127-143.27
- Talukder. Ashit, Liu. Timothy.Etc, (2006), "Global Cyclone Detection and Tracking using Multiple Remote Satellite Data":1\_9.
- Zangvil. Abraham, Karas.Svetlana,Sasson.Anat, (2003), "Connection Between Eastern Mediterranean Seasonal Mean 500 HPA Height And Sea-Level Pressure Patterns And The Spatial Rainfall Distribution Over Israel", International Journal Of Climatology, 23:1567–1576.



دانشگاه علوم انسانی و مطالعات فرهنگی  
پردیس جامع علوم انسانی

**Research Article**

## **Frequency of entrance Mediterranean Cyclones to Iran and Their Impact on Widespread precipitation**

**Hussein Asakereh<sup>1\*</sup>, Atoosa Khojasteh<sup>2</sup>**

1\*. Professor, Faculty of Humanities, Zanjan University, Zanjan, Iran

2. Masters of Synoptic climatology, Faculty of Humanities, Zanjan University, Zanjan, Iran

Received: 02-03-2020

Final Revised: 31-07-2020

Accepted: 16-08-2020

### **Abstract**

The fluctuation of rainfall across the country has created many environmental crises in recent years. In this study, in order to investigate the widespread rainy days of Iran, two groups of data centers including high atmosphere data and ground level data were investigated. The high atmosphere data include: geopotential height (in meters) and sea level pressure (hectopascal) that were gathered from the National Centers for Environmental Prediction of U.S. and National Center for Atmospheric Research (NCEP/NCAR) for the statistical periods of 1363 to 1392 (1986 to 2013) for the area of 10 to 60 degrees north and 40 to 80 degrees east. The ground level data were gathered from interpolated data of daily rain from 2939 stations and 19724 days on cells with the area of 14 in 14 kilometers. To analyze the widespread rainfall of the area based on index, the 25th percentile was chosen. Based on this percentile every time 5 percent of Iran is seeing rain to itself, that day will be chosen as the day with widespread rainfall. The results of this study indicate that based on the trajectory of the transferred cyclones to Iran, any time this trajectory is combined with the Red and Black seas, it will add to their impact and occurrence. When the rainfall occurs, the western and north western regions of Iran experience the same amount of rainfall, while eastern and north eastern regions are hit by weaker cyclones and thus the amount of rainfall is less in these areas.

**Keywords:** Cyclones, Rainy Days, Low Pressure Mediterranean, Iran.

\* Corresponding Author Email: asakereh@znu.ac.ir

## References

### References (in Persian)

- Alijani, Behlul, (1988), "Using Dispersion Using Middle East Cyclone Locations with High-Level Air Systems", Nurmax Research Center, No. 4: 125-143. [In Persian]
- Alijani, b., (2006), "Synoptic Climatology", Publishing the right to Tehran. [In Persian]
- Asakereh, h. Razmi, r. (2012), "Climatology of Western Iran Western Region", Geography and Development, No. 25: 138-158. [In Persian]
- Alizadeh, T. Azizi, ah. Village, A., (2012), "Probable circulation analysis of 500 hectares atmospheric circulation where visitor restriction occurs without visiting Iran", Space planning and testing, Issue 4: 1-24. [In Persian]
- Alizadeh, T. Azizi, gh. Rosta, A., (2012), "Probable circulation analysis of 500 hectopascal atmospheric circulation where visitor restriction occurs without visiting Iran", Space planning and testing, Issue 4: 1-24. [In Persian]
- Alizadeh, T. Azizi, (2014), "The Relationship Between Intertidal Type of Lake Alignment, Evaluation of Visits in Iran", Natural Geography Survey, No. 46: 310-297. [In Persian]
- Alizadeh, t. Azizi, hg. Mahbub-Hajah, A. Khoshakh akhlagh, f., (2016), "the spatial temporal perspective of the rotations in the Mediterranean with a numerical algorithm.", Physics, Earth and Space, Issue 2: 405-417. [In Persian]
- Ahanbaksh, Q. Khourshidoost, A. Mir Hashimi, h., (2019), "Mechanism of cycling in the Zagros Mountains.", Geography and Environmental Planning, Issue 1: 177-192. [In Persian]
- Hejazi Zadeh, Z. Sedaghat, M., (2009), "Digital tracking of Middle Eastern in Cold Period ", Natural Geography Research, No. 69. 1-17. [In Persian]
- Heydari, M.P. Khosh akhlagh, f., (2015), "The effect of global warming on the cyclone center of the eastern Mediterranean and its relation to the precipitation of the western half of Iran", Geographical studies of arid regions, No. 22: 72-88. [In Persian]
- Halabian, A. Hosseinali Pourjazi, F., (2015), "Frequency analysis of jetstrem in precipitaion associated with partial and pervasive precipitation in the Caspian West Bank", Geographical Research, Issue 1: 205-220. [In Persian]
- Kaviani, M. Alijani, b., (2013), "The Basics of Meteorology", Issue 17, Tehran: Khome Publications, 532. [In Persian]
- Khosravi, y. Doostkamian, M. Taherian, A., (2018), "Investigation and Analysis of Moisture Advection Pattern of Overall Rainfall in Iran", Geography, No. 53: 251-264. [In Persian]
- Mostafaei, h. Alijani, b. Saligh, m., (2015), "Synoptic analysis of browser limit in Iran", Spatial Analysis of Environmental Reports, Issue 4: 65-76. [In Persian]
- Ran nejad, p. Ahmadi Givi, F. Mohammad Nejad, A, (2009), "The Effect of Modern Shopping on Iran's Annual Rainfall in the Period 1960 to 2002", Geophysical Journal, Issue 1: 91-105. [In Persian]
- Saligheh, m. Nasserzadeh, M. Chehreh ara., (2017), "Investigation of the Relationship between NCPI and CACO Indicators with Autumn Rainfall, South Caspian Coast", No. 43: 217-328. [In Persian]

### References (in English)

- Alpert, P., Neeman, B. U. and Shay-El, Y., (1990), "Climatological analysis of Mediterranean cyclones using ECMWF data", TellusA, 42, 65-77.
- Alpert, P. Osetinsky, I. Ziv,B .Shafir, H ,(2004),"Semi-Objective Classification For Daily Synoptic System:Application To The Eastern Mediterranean climate Change", International journal of climatology, 24:1001-101.
- Blender R, Schubert. M, (1999), "Cyclone Tracking in Different Spatial and Temporal Resolutions", American Meteorological Society: 377-384.
- Bengtsson, L., Hodges, K.I., Roeckner, E., (2006), "Storm Tracks and Climate Change, Journal of Climate", 19, 3518-3543.
- Campins, J., Genove´s, A., Guijarro, J. A. Jansa` , A., and Ramis, C., (2000), "A catalogue and a classification of surface cyclones for the Western Mediterranean", Int. J. Climatol., 20, 969-984.
- Campins, J., Genoves, A., Jansa, A., (2006), "Three-Dimentional Structure of Western Mediteranean Cyclones", J. Climatol. 26: 323-343.
- Eshel, G., Cane, M. A and Farrell, B. F., (2000), "Forecasting eastern Mediterranean droughts", Mon. Wea. Rev., 128, 3618-3630.
- Flocas, H., Kouroutzoglou, j., keay, K., Simmonds, I., (2010), "On Cyclonic Tracks over the Eastern Mediterranean", Journal of Climate, Volume 23, October 2010.
- Geng.Quanzhen, Sugi. Masato, (2001), "Possible Change of Extratropical Cyclone Activity due to Enhanced Greenhouse Gases and Sulfate Aerosols—Study with a High-Resolution AGCM", Journal of climate, NO 16. 2262-2274.
- Hoskins. Brian J, Hodges. Kevin I., (2001), "New Perspectives on The Northern Hemisphere Winter Storm Tracks". American Meteorological Society, 1041-1061.
- Kostopoulou. E., Jones. P. D., (2007), "Comprehensive analysis of the climate variability in theeastern Mediterranean. Part II: relationships betweenatmospheric circulation patterns and surface climatic elements",International Journal Of Climatology, 27: 1351-1371.
- Lionello. P, Dalan. F, Elvini. E., (2002), "Cyclones in the Mediterranean region: the present and the doubled co\_2 climate scenarios",CLIMATE RESEARCH, 147-159.
- Lionello. Piero, Trigo. Isabel F, Etc., (2016), "Objective climatology of cyclones in the Mediterranean region: a consensus view among methods with different system identification and tracking criteria", JOURNAL TELLUS,68: 1\_18.

- Michaelides, S. C., Karacostas T. and Nicolaides, K. A. (2004). "Spatial Distribution of some Dynamic Parameters during the Evolution of Selected Depressions over the Area of Cyprus", Intern. J. Climatol, 24, 1829.
- Nissen. K.M, Leckebusch. G. C, Etc., (2010), "Cyclones causing wind storms in the Mediterranean: characteristics, trends and links to large-scale patterns",Natural Hazards and Earth System Sciences, 10: 1379–1391.
- Picornell, M. A., Campins, J., Genoves, A. and Jansa', A., (2001), "Automated database of mesocyclones from the HIRLAM (INM) 20.58 analyses in the Western Mediterranean", Int. J. Climatol., 21, 335-354.
- Ramis, C.; R. Homar, M. Alarcon, Serigo. S. Romero and V. Alonso, (1998)," Diagnosis and numerical simulation of a torrential precipitation event in Catalonia (Spain)", Meteorology and Atmospheric Physics, 69: 1–21.
- Trigo. Isabel F, Bigg. Grant R, Davies. Trevor D, (2001), "Climatology of Cyclogenesis Mechanisms in the Mediterranean", American Meteorological Society:549-569.
- Trigo, I. F., (2006), "Climatology and interannual variability of storm-tracks in the EuroAtlantic sector: a comparison between ERA-40 and NCEP/NCAR reanalyses", Climate Dyn., 26, 127-143.27
- Talukder. Ashit, Liu. Timothy.Etc, (2006), "Global Cyclone Detection and Tracking using Multiple Remote Satellite Data":1\_9.
- Zangvil. Abraham, Karas.Svetlana,Sasson.Anat, (2003), "Connection Between Eastern Mediterranean Seasonal Mean 500 HPA Height And Sea-Level Pressure Patterns And The Spatial Rainfall Distribution Over Israel",International Journal Of Climatology, 23:1567–1576.

